Член-корреспондент АН СССР М. В. ВОЛЬКЕНШТЕЙН, Ю. Б. МАГАРШАК, В. Е. СТЕФАНОВ

ПРЕОБРАЗОВАНИЯ ДИАГРАММ ФЕРМЕНТАТИВНОЙ КИНЕТИКИ

В работах (1, 2) был разработан диаграммный метод решения задач быстро-равновесной ферментативной кинетики. В настоящей работе рассмотрены преобразования диаграмм, заключающиеся в объединении двух или более ее вершип. Объедипению вершин диаграммы соответствует песколько различных случаев, реализуемых в конкретных ферментативных процессах. В ферментативных реакциях, катализируемых ферментами, состоящими из субъединиц, может образоваться несколько ферментсодержащих комплексов, в которых каждый реагент связывает одинаковое число активных центров; такие вершины могут быть объединены, что соответствует переходу от детальной к совмещенной диаграмме реакции (3). Аналогичная ситуация имеет место для ферментов, паходящихся в нескольких активных копформациях: модель Мопо, Шанжё и Уаймена (4), модель Уайтхеда (5) и др. Объединение вершин диаграммы имеет место также при фиксировании концептраций одного или нескольких реагентов реакции. В частности, фиксирование концентраций всех реагентов сводит исходную диаграмму к элементарной, состоящей из епинственной вершины с выходящей из нее волнистой линией и соответствующей экспериментальпо измеренному при данных зафиксированных концентрациях реагентов значению скорости реакции.

Найдем правила, по которым преобразуются элементы диаграммы, потребовав, чтобы скорость реакции, пайденная по преобразованной диаграмме, по правилам, выведенным в работах (1,2), равнялась скорости, полученной из исходной диаграммы. Этому требованию можно удовлетворить, выбрав следующие значения величии цепей преобразованной диаграммы.

$$M^* [x \to y] = \frac{\sum_{s \subset d_y} M[i \to s]}{\sum_{s \subset d_x} M[i \to s]}, \quad \Pi^* [x \to y] = \frac{\sum_{s \subset d_y} \Pi[i \to s]}{\sum_{s \subset d_x} M[i \to s]}, \quad (1)$$

где x — вершина преобразованиой диаграммы D^* , образовавшаяся в результате объединения вершин d_x исходной диаграммы D; y — вершина преобразованиой диаграммы D^* , образовавшаяся в результате объединения вершин d_y исходной диаграммы D.

Покажем, что при определенных по формуле (1) величинах цепей диаграммы скорость реакции не изменяется. В самом деле

$$v^* = \frac{\sum\limits_{y \subset D^*} \Pi^* \left[x \to y \right]}{\sum\limits_{y \subset D^*} M^* \left[x \to y \right]} = \frac{\sum\limits_{y \subset D^*} \left(\sum\limits_{s \subset d_y} \Pi \left[i \to s \right] \middle/ \sum\limits_{s \subset d_x} M \left[i \to s \right] \right)}{\sum\limits_{y \subset D^*} \left(\sum\limits_{s \subset d_y} M \left[i \to s \right] \middle/ \sum\limits_{s \subset d_x} M \left[i \to s \right] \right)} = \frac{\sum\limits_{s \subset D} \Pi \left[i \to s \right]}{\sum\limits_{s \subset D} M \left[i \to s \right]} = v,$$

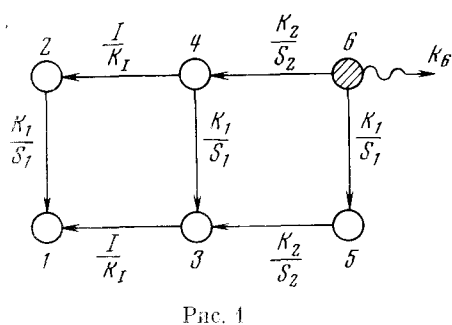
что и требовалось доказать.

Аналогично можно показать, что для всех вершин преобразованной диаграммы $M^*[x \to y]M^*[y \to z] = M^*[x \to z]$, а также, что $M^*[x \to x] = 1$ и что произведение величин дуг преобразованной диаграммы не зависит от непи.

Для того чтобы выразить величины дуг преобразованной диаграммы через величины дуг исходной диаграммы, целесообразио ввести в рассмотрение подсеть d_y исходной диаграммы D, состоящую из объединяемых в вериниу y преобразованной диаграммы вершин исходной диаграммы и соединяющих их дуг. Величина дуги a_y преобразованной диаграммы D^* , выходящей из вершины y_4 и входящей в вершину y_2 , равна

$$a_{y_1}^{y_2} = \frac{M_{D^*}[x_1 \to y_2]}{M_{D^*}[x_1 \to y_1]} = \frac{\sum_{s \subset d_{y_2}} M[i \to s]}{\sum_{s \subset d_{y_1}} M[i \to s]} = \frac{H_{dy_2}(i_1)}{H_{dy_1}(i_1)} a_{i_1}^{j_1};$$
 (2)

здесь $H_{d_{y_2}}(j_1)$ — величина подсети d_{y_2} диаграммы D, в которой входом является вершина j_1 ; $H_{d_{y_1}}(i_1)$ — величина подсети d_{y_1} диаграммы D, в которой входом является вершина i_1 .



Если вершина j_4 при преобразовании не объединяется с другими вершинами диаграммы, то $H(j_1)=1$ и, следовательно, $a_{j_1}^{y_2}=a_{i_1}^{j_1}/H(i_1)$. Ес-

ли же при преобразовании с другими вершилами диаграммы не объединяется вершина i_1 , то $H(i_1)=1$; в этом случае $a_{y_1}^{y_2}=a_{j_1}^{i_1}H(j_1)$.

На рпс. 1 изображена дпаграмма двухсубстратной реакции со случайным присоединением субстратов S_1 и S_2 и конкурентным ингибитором I

субстрата S_2 . На рис. 2a изображена диаграмма, иолученная из диаграммы (1) фиксированием концентраций всех трех реагентов; ведичина волнистой липпи

$$k_7 = \frac{k_2}{(1 + K_1/S_1)[1 + K_2/S_2(1 + I/K_I)]}$$
.

На рис. 2δ изображена диаграмма, полученная при фиксировании концентраций субстрата S_2 и ингибитора I; она дает ту максимальную информацию, которая может быть получена для рассматриваемого механизма при кинетических экспериментах из графика зависимости обратной скорости реакции от обратной концентрации субстрата S_1 . Вершины I, 3 и 5 диаграммы (1) объединяются в вершину 8 диаграммы рис. 2δ , а вершини 2, 4 и 6— в вершину 9. В давном случае подсеть d_8 состоит из вершин I, J, J и соединяющих их дуг (5,3) и (J,1), а подсеть J0— из вершин J1, J2, J3 и J4, J7 и J7. Величина волнистой линии и дуги J8, J9 диаграммы рис. J9 может быть найдена, например, из диаграммы рис. J8:

$$a_9^8 = \frac{1 + (1 - I/K_I) K_2/S_2}{1 + (1 - I/K_I) K_2/S_2} \cdot \frac{K_1}{S_1} = \frac{d_8}{d_9} a_6^5 = \frac{K_1}{S_1}.$$

Легко убедиться непосредственно, что, как и следовало ожидать, величина волинстой лишии и дуги не изменяется от того, производятся вычиснения по диаграмме рис. 2s, 2s или 2d.

На рис. 2e изображена диаграмма, полученная из диаграммы (1) фиксированием концентрации ингибитора I; на ней вершины 1 и 3 исходной диаграммы объединены в вершину 10, а вершины 2 и 4 исходной диаграммы — в вершину 11. Диаграмма рис. 2e дает максимальную информацию, которая может быть получена из кинетических экспериментов с переменными концентрациями субстратов S_1 и S_2 при фиксированной кон-

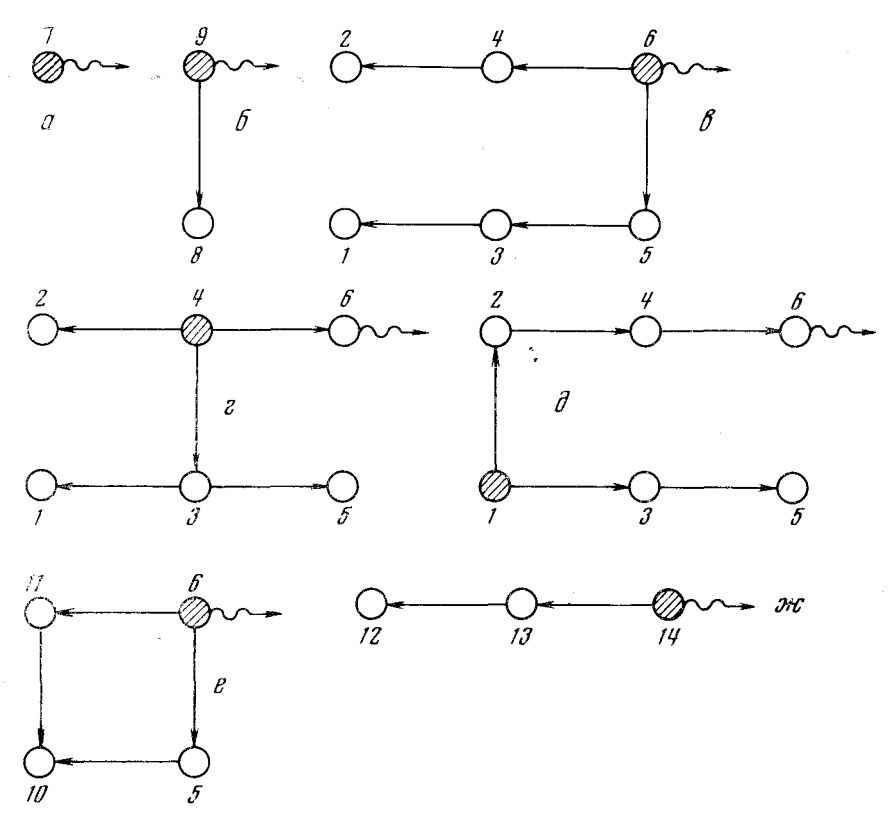


Рис. 2

центрации ингибитора І. Величины дуг диаграммы рис. 2е равны

$$a_6^5 = a_{11}^{10} = \frac{K_1}{S_1}; \quad a_5^{10} = a_6^{11} = \frac{K_2}{S_2} \left(1 + \frac{I}{K_I} \right).$$

На рис. 2m изображена диаграмма, полученная из исходной диаграммы (1) фиксированием концентрации субстрата S_1 ; на ней вершины I и 2, 3 и 4, 5 и 6 попарио объединены в вершины I2, I3 и I4 соответственно. Диаграмма рис. 2m дает максимальную информацию, которая может быть получена из кинетических экспериментов с переменными концентрациями субстрата S_2 и ингибитора I ири фиксированной концентрации субстрата S_1 . Элементы диаграммы рис. 2m равны

$$a_{14}^{13} = rac{K_2}{S_2} \; ; \quad a_{13}^{12} = rac{I}{K_I} \; ; \quad k_{12} = rac{k_6}{1 + K_1/S_1} \; .$$

Если в реакции отсутствуют медленные стадии, то восстановление ее механизма по кинетическим кривым даже в случае простейших процессов неоднозначно (е-в). Соблюдение условий быстрого равновесия, позволяющих использовать диаграммный метод, дает возможность достоверно восстанавливать полную совмещенную диаграмму реакции по совокупности элементарных диаграмм, соответствующих фиксированию концентраций всех реагентов, т. е. экспериментально измеряемым значениям скорости.

Авторы приносят благодарность Ф. М. Купи за ценную дискуссию. Ленинградский государственный университет
им. А. А. Жданова
18 IX 1972

1 М. В. Волькепштейн, Ю. Б. Магаршак, 15, 5, 777 (1970). ² М. В. Волькепштейн, Ю. Б. Магаршак, 15, 6, 949 (1970). ³ М. В. Волькенштейн, Ю. Б. Магаршак, Биофизика, 15, 6, 949 (1970). ³ М. В. Волькенштейн, Ю. Б. Магаршак, В. Е. Стефалов, ДАН, 197, № 4, 958 (1971). ⁴ J. Monod, J. P. Changeux, J. Wyman, J. Mol. Biol., 12, 88 (1965). ⁵ E. Whitehead, Biochemistry, 9, 1440 (1970). ⁶ W. W. Cleland, Biochim. et biophys. acta, 67, 188 (1963). ⁷ D. E. Koschland jr., G. Nemethy, D. Filmer. Biochemistry, 5, 365 (1966). ⁸ J. T. Wong, C. S. Hanes, Canad. J. Biochem. Physiol., 40, 763 (1962).